



## بررسی پاسخ دزیمر ژلی - پلی مری PAGAT به نوترون های گرمایی

سیدمحمد مهدی ابطی\*<sup>۱</sup>، مجید شهریاری<sup>۲</sup>، حسین خلفی<sup>۳</sup>، محمدحسین زحمتکش<sup>۴</sup>

۱- گروه پر تو پزشکی، دانشکده مهندسی هسته‌ای، دانشگاه شهید بهشتی، صندوق پستی: ۱۹۸۳۹۶۳۱۱۳، تهران - ایران

۲- گروه کاربرد پر توها، دانشکده مهندسی هسته‌ای، دانشگاه شهید بهشتی، صندوق پستی: ۱۹۸۳۹۶۳۱۱۳، تهران - ایران

۳- پژوهشگاه علوم و فنون هسته‌ای، سازمان انرژی اتمی ایران، صندوق پستی: ۱۴۳۹۵-۸۳۶، تهران - ایران

۴- انستیتو پر تو پزشکی نوین، صندوق پستی: ۱۴۶۶۶۴۳۶۹۱، تهران - ایران

**چکیده:** مزیت دزیمر ژلی - پلی مری توانایی منحصر به فرد آن در اندازه گیری دز به صورت سه بعدی و انتگرالی و همچنین قابلیت شکل دهی آن به صورت شبه انسان می باشد. در این مطالعه دزیمر ژلی - پلی مری PAGAT در ستون گرمایی رآکتور تحقیقاتی تهران، تحت تابش نوترون های حاصل از شکافت که انرژی آن ها تا حد گرمایی شدن کاهش یافته بود، قرار گرفت و پاسخ ژل با استفاده از تصویربرداری تشدید مغناطیسی (MRI) به صورت تغییر در آهنگ بازگشت هسته ها مورد بررسی قرار گرفت. خطی بودن پاسخ ژل نسبت به دز مؤثر و دز جذبی نوترون های گرمایی، دقت فضایی آشکارساز، خطای درجه بندی و کم ترین دز قابل تشخیص توسط دزیمر ژلی - پلی مری مورد بررسی قرار گرفت. برای درجه بندی پاسخ ژل ( $R_2$ ) نسبت به دز دریافتی، توزیع شار نوترونی در ستون گرمایی به روش فعال سازی نوترونی پولک طلا تعیین شد و با استفاده از ضرایب تبدیل شار به دز مؤثر داده شده در توصیه ANSI/ANS-6.1.1-1997، دز معادل و با استفاده از عامل کیفیت QF داده شده، دز جذبی نقشه ی شار مذکور به دست آمد. نتایج به دست آمده نشان می دهد که دزیمر ژلی - پلی مری PAGAT ابزار مناسبی برای دزیمری نوترون های گرمایی می باشد. حساسیت دزیمر به نوترون های گرمایی برابر با  $0.01521 \pm 0.00552 \text{ Gy}^{-1} \text{ s}^{-1}$  و کم ترین دز قابل تشخیص در حدود  $1.8 \text{ Gy}$  تقریب زده شد.

**واژه های کلیدی:** دزیمر ژلی - پلی مری PAGAT، ستون گرمایی، شار نوترون، دزهای تابش، MRI

## Investigation of the Response of PAGAT Polymer Gel Dosimeter for Thermal Neutrons

S.M. Abtahi<sup>1\*</sup>, M. Shahriari<sup>2</sup>, H. Khalafi<sup>3</sup>, M. Zahmatkesh<sup>4</sup>

1- Radiation Medicine Department, Nuclear Engineering Faculty, University of Shahid Beheshti, P.O. Box: 1983963113, Tehran - Iran

2- Radiation Application Department, Nuclear Engineering Faculty, University of Shahid Beheshti, P.O. Box: 1983963113, Tehran - Iran

3- Nuclear Science and Technology Research Institute, AEOI, P.O. Box: 14395-836, Tehran - Iran

4- Novin Medical Radiation Institute, P.O. Box: 1466643691, Tehran - Iran

**Abstract:** Two major advantages of polymer gel dosimeters are their ability to determine the integrated 3D dose distribution as well as their ability to be formed in different shapes. In this research, PAGAT gel dosimeter was irradiated by moderated fission neutrons in the Tehran Research Reactor (TRR) thermal column, and the response of the gel was investigated as a change in the spin-spin relaxation rate of MR image of gel Phantoms. The linearity of the response ( $R_2$ ) versus the absorbed dose (D), sensitivity, dose resolution and minimum detectable dose (MDD) were investigated. For calibration of the gel response versus the dose rate, the foil activation analysis was made. In this method the flux map of the thermal column and by using flux to dose conversion factors, given by ANSI/ANS-6.1.1-1997, the fluence related to the absorbed dose map was obtained. To make sure that if there is any epithermal neutron in the thermal column a cadmium cover gold foil was set at the core nearest the thermal column. This study resulted in that PAGAT gel dosimeter can be used as a useful instrument for thermal neutron dosimetry. The sensitivity and MDD of the PAGAT gel dosimeter for thermal neutron was  $0.01521 \pm 0.00552 \text{ Gy}^{-1} \text{ s}^{-1}$  and  $1.8 \text{ Gy}$ , respectively.

**Keywords:** Polymer Gel Dosimeter, PAGAT, Thermal Column, Neutron Flux, Radiation Doses, MRI

\*email: sm\_abtahi@sbu.ac.ir

تاریخ دریافت مقاله: ۸۸/۷/۱۹ تاریخ پذیرش مقاله: ۸۸/۱۲/۴

## ۱- مقدمه

جداول ۱ و ۲ دزیمتر ژلی- پلی مری PAGAT با آب و چربی و عضله مقایسه شده است [۷]. تعیین مقدار دز نوترون از نقطه نظر فیزیک بهداشت نیز اهمیت دارد. تاکنون عمده کاربردهای دزیمتر ژلی مربوط به پرتوهای الکترون و فوتون بوده است. در این پژوهش سعی شده است قابلیت استفاده از دزیمتر ژلی- پلی مری PAGAT [۷] برای دزیمتری نوترون‌های گرمایی مورد بررسی قرار گیرد.

## ۲- مواد و روش‌ها

### ۲-۱ ساخت دزیمتر ژلی- پلی مری

مواد لازم برای ساخت دزیمتر ژلی- پلی مری PAGAT در جدول ۳ آورده شده‌اند [۷]. برای ساخت دزیمتر ابتدا ژلاتین (تهیه شده از شرکت سیگما- آلد ریچ) در آب دو بار تقطیر شده، به مدت ده دقیقه خیسانده شده و سپس بشر حاوی ژلاتین بر روی گرم کننده‌ی مجهز به همزن مغناطیسی قرار داده شد. با افزایش دما تا  $48^{\circ}\text{C}$  ژلاتین به طور کامل حل و واسطه‌ی اتصال عرضی  $N',N$ - متیلن- بیس- آکریل آمید (تهیه شده از شرکت سیگما- آلد ریچ) به محیط اضافه شده، پس از انحلال کامل این آخری، آکریل آمید (تهیه شده از شرکت مرک آلمان) که همان مونومر می‌باشد وارد محیط گردید. با انحلال آکریل آمید، هیدروکینون (تهیه شده از شرکت فلوکا، آلمان) و به دنبال آن تتراکیس فسفونیم کلرید (THPC، تهیه شده از شرکت مرک) وارد محیط شدند. پس از ورود محلول به ویال‌ها و بستن در آن‌ها به منظور جلوگیری از ورود هوا، ویال‌ها به منظور سفت شدن شبکه‌ی ژلاتینی به مدت یک شب در دمای  $4^{\circ}\text{C}$  در یخچال نگهداری شدند [۷].

دزیمترهای ژلی- پلی مری در حقیقت مونومرهای هستند که به طور یکنواخت در شبکه‌ی ژلاتینی توزیع شده‌اند [۱]. این مونومرها در اثر پرتودهی، به پلی‌مر تبدیل شده و با اتصالات عرضی یک شبکه‌ی سه‌بعدی ژلی- پلی مری تشکیل می‌دهند. میزان پلی‌مریزاسیون وابسته به مقدار دز جذب شده توسط دزیمتر ژلی- پلی مری می‌باشد [۲]. روش‌های مختلفی برای خواندن پاسخ دز در دزیمترهای ژلی- پلی مری وجود دارد. این روش‌ها عبارت‌اند از: توموگرافی کامپیوتری نوری [۳]، توموگرافی کامپیوتری [۴]، تصویربرداری فراصوتی [۵]، و تصویربرداری تشدید مغناطیسی [۶ و ۷]. در این مطالعه از روش تصویربرداری تشدید مغناطیسی استفاده شده است. پس از پرتودهی، در اثر پلی‌مریزاسیون خاصیت مغناطیسی پروتون‌های اطراف پلی‌مرهای ایجاد شده تغییر می‌کند. تغییر در خاصیت مغناطیسی پروتون‌ها باعث تغییر در زمان بازگشت اسپین‌های هسته پس از دفاز شدن هسته‌ها در سیستم تصویربرداری MRI می‌شود. این تغییر در زمان بازگشت  $T_2$  (یا آهنگ بازگشت  $R_2$ ) را می‌توان با تصویربرداری تشدید مغناطیسی آشکار کرد [۶].

دست‌یابی به دزیمتری برای نوترون با توجه به خاصیت خنثی بودن این ذره که باعث اندرکنش‌های خاص آن می‌شود، همواره مدنظر پژوهشگران در زمینه‌ی کاربردهای نوترون بوده است و می‌باشد. با توجه به کاربردهای نوترون در زمینه‌ی درمان نیاز به تعیین توزیع سه‌بعدی دز در بافت مورد تابش آشکارتر می‌شود. دزیمترهای ژلی- پلی مری با خاصیت منحصر به فرد تعیین توزیع سه‌بعدی دز و مشابهت با بافت نرم می‌توانند کاندیدای مناسبی برای استفاده‌های کلینیکی برای تهیه‌ی نقشه سه‌بعدی دز در راستای مقاصد درمان با نوترون (مانند BNCT) باشند. در

جدول ۱- مقایسه‌ی عناصر موجود در دزیمتر ژلی- پلی مری PAGAT با عضله، آب و چربی

Material	wH	wN	wO	wC	wS	wP	WCl
PAGAT	0.1059	0.0242	0.8008	0.0681	-	0.0002	0.0002
Water	0.1119	-	0.8881	-	-	-	-
Muscle	0.1042	0.0350	0.7289	0.1230	0.0050	-	-
Fat	0.1120	0.0110	0.3031	0.5732	$6 \times 10^{-5}$	-	-

W: نسبت وزنی

**جدول ۲- مقایسه‌ی خواص فیزیکی دزیمتر ژلی- پلی مری PAGAT با عضله، آب و چربی**

Material	$\rho(\text{kg m}^{-3})^+$	$\rho_e^{++} (\times 10^{29} \text{em}^{-3})$	$\rho_e/\rho (\times 10^{26} \text{ekg}^{-1})$	$Z_{\text{eff}}$	$(\rho_e)_{\text{water}}^{\text{material+++}}$
PAGAT	1026±2	3.4459	3.3585	7.39	1.031
Water	1000	3.3428	3.3428	7.51	1.000
Muscle	1040	3.4450	3.3125	7.64	1.031
Fat	916	3.0590	3.3395	6.46	0.915

+ چگالی،

++ چگالی الکترونی،

+++ نسبت چگالی الکترونی زل به آب.

**جدول ۳- مواد لازم برای ساخت دزیمتر ژلی- پلی مری PAGAT**

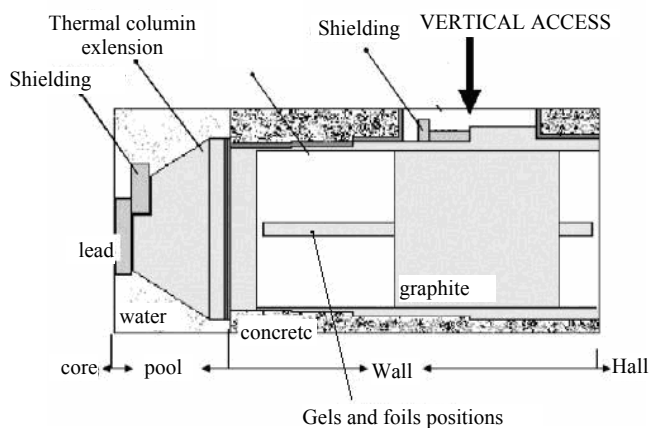
غلظت	نوع ماده
%۵	ژلاتین
%۳	N,N'-methylene-bis-acrylamide (bis)
%۳	اکریل آمید (AA)
۵mM	تتراکیس فسفونیم (THPC)
۱mM	هیدروکینون
%۸۹	آب دوبار تقطیر شده

پرتوهای گاما و نوترون‌های غیر گرمایی تا حد قابل ملاحظه‌ای در ستون کاهش می‌یابند. در بسیاری از مقاصد عملی می‌توان از آن‌ها صرف نظر کرد. پرتودهی به مدت ۴۰ دقیقه و با توان ۱MW رآکتور انجام شد. دمای داخل ستون گرمایی بیش‌تر از دمای اتاق بود. برای هم دما شدن یک ساعت قبل از پرتودهی ژل‌ها در ستون گرمایی قرار داده شدند [۹]. چون شار نوترون در داخل ستون گرمایی با فاصله از قلب (انتهای ستون) تغییر می‌کند، ژل‌ها در فواصل مشخص از انتهای ستون قرار داده شدند تا شارها و دزهای متفاوتی را دریافت کنند. درجه‌بندی ستون گرمایی از طریق فعال‌سازی نوترونی پولک طلا انجام شد.

نقش ژلاتین ایجاد شبکه‌ی ژلاتینی برای حفظ مونومرها و پلی‌مرها در شبکه‌ی سه‌بعدی و حفظ توزیع سه‌بعدی در بعد از پرتودهی می‌باشد. در آب معمولی همواره مقداری رادیکال آزاد وجود دارد. این رادیکال‌های آزاد می‌توانند باعث شروع واکنش پلی‌مریزاسیون شوند. هیدروکینون با رادیکال‌های آزاد اتصال ایجاد نموده و از خود پلی‌مریزاسیون احتمالی جلوگیری می‌کند. در اثر برخورد پرتو، رادیکال‌های آزاد  $\text{OH}^\bullet$  و  $\text{H}^\bullet$  تشکیل می‌شود که آغازگر واکنش پلی‌مریزاسیون می‌باشند. آکریل آمید نقش مونومر را دارد که در اثر فرایند فوق با نقش واسطه‌ای اتصال عرضی ایجاد کرده و شبکه‌ی پلی‌مری تشکیل می‌دهد. تتراکیس فسفونیم کلراید (THPC) به عنوان آنتی‌اکسیدان عمل می‌کند یعنی با ایجاد پیوند با اکسیژن از اثر بازدارنده اکسیژن در پلی‌مریزاسیون جلوگیری می‌کند [۸].

### ۲-۲ پرتودهی

پرتودهی ژل‌ها در ستون گرمایی رآکتور تحقیقاتی تهران (شکل ۱) انجام شد. بنابراین ژل‌ها تحت تابش نوترون‌های گرمایی خالص قرار گرفتند. ابعاد ستون گرمایی برای قرار دادن نمونه‌ها  $10\text{cm} \times 10\text{cm} \times 20\text{cm}$  می‌باشد. حفاظ‌هایی از جنس سرب و بتون و گرافیت این ستون را از قلب جدا می‌کنند که در نتیجه


**شکل ۱- طرح‌واره‌ای از مکان قرار گرفتن ژل‌ها در ستون گرمایی رآکتور.**

۳-۲ تحلیل به روش فعال سازی نوترونی

برای تحلیل به روش فعال سازی، پولک های طلا در مکان های مشخص برای یک زمان از پیش تعیین شده در معرض شار نوترون های گرمایی قرار داده شدند. برای جلوگیری از هر گونه اختلالی لازم است پولک ها تا حد امکان نازک و خالص باشند [۱۰]. آهنگ واکنش بر روی هسته های درون پولک از رابطه ی زیر به دست می آید

$$R = \phi \Sigma_{act} V \quad (1)$$

که در آن  $\phi$  میانگین شار نوترون در سطح پولک،  $\Sigma_{act}$  سطح مقطع ماکروسکوپی فعال سازی پولک، و  $V$  حجم پولک می باشد.  $N$  تعداد هسته های پرتوزا در هر لحظه از پرتو دهی از رابطه ی زیر به دست می آید

$$N(t) = R/\lambda [1 - \exp(-\lambda t)] \quad (2)$$

فعالیت پولک از رابطه ی زیر محاسبه می شود

$$A = \lambda N(t) = R [1 - \exp(-\lambda t)] \quad (3)$$

مقدار فعالیت اشباع برابر است با

$$A_{\infty} = R = \phi \Sigma_{act} C V \quad (4)$$

از آن جایی که حجم پولک طلا به خوبی قابل اندازه گیری نیست لذا در رابطه ی (۴) جایگزینی زیر را انجام می دهیم

$$\Sigma_{act} V = \rho \frac{N_A}{M} \cdot \sigma_{act} V = \frac{m}{M} N_A \sigma_{act}$$

که در آن  $N_A$  عدد آوگادرو،  $m$  جرم پولک،  $M$  جرم مولکولی و  $\sigma_{act}$  سطح مقطع میکروسکوپی فعال سازی می باشد.

فعالیت  $A_0$  پولک در خاتمه ی پرتو دهی به مدت  $t_0$  از رابطه ی زیر به دست می آید

$$A_0 = A_{\infty} (1 - e^{-\lambda t_0})$$

اگر شمارش در بازه ی زمانی بین  $t_1$  و  $t_2$  انجام شود تعداد شمارش ها برابر خواهد بود با

$$C = \varepsilon \int_{t_1}^{t_2} A_0^{-\lambda(t-t_0)} dt + B = \frac{\varepsilon A_0}{\lambda} (e^{-\lambda t_1} - e^{-\lambda t_2}) + B \quad (5)$$

که در آن  $\varepsilon$  بهره ی آشکارساز و  $B$  شمارش زمینه است. بنابراین برای فعالیت اشباع داریم

$$A_{\infty} = \frac{\lambda(C - B)}{\varepsilon(1 - \exp(-\lambda t_0))e^{\lambda t_0}(\exp(-\lambda t_1) - \exp(-\lambda t_2))} \quad (6)$$

با استفاده از این معادله و معادله ی (۴) می توان شار نوترونی را محاسبه نمود [۱۰].

در این مطالعه از ۷ پولک طلا در فواصل مساوی ۲۰ سانتی متری از انتهای ستون استفاده شد. در انتهای ستون (نزدیک ترین فاصله به قلب) از یک پولک طلا با پوشش کادمیم استفاده شد. نوترون های گرمایی توسط کادمیم جذب می شوند و از این رو فعال نشدن پولک به معنی عدم حضور نوترون های غیر گرمایی است. اگر در این ناحیه، که کمترین فاصله به قلب رآکتور را دارد، نوترون های غیر گرمایی مشاهده نشود، می توان گفت که در هیچ جایی از ستون گرمایی در توان پیش گفته ی رآکتور، آن تعداد نوترون غیر گرمایی که قادر به فعال کردن قابل آشکارسازی پولک طلا در مدت زمان ۴۰ دقیقه باشد وجود ندارد. برای تبدیل شار نوترون به دز معادل از ضرایب تبدیل ارایه شده در گزارش ANSI/ANS-6.1.1-1997 استفاده شد. طبق استاندارد مذکور برای نوترون های گرمایی ضریب تبدیل شار به دز معادل  $DF = 1.02 \times 10^{-15} (Svs^{-1}/cm^{-2}s^{-1})$  و عامل کیفیت QF برابر با ۲ می باشد [۱۱].

۳-۲ تصویربرداری و تهیه ی نقشه ی R۲

همان طور که پیش از این گفته شد، برای خواندن پاسخ ژل به دز، از آشکارسازی تغییر مغناطیسی پروتون ها به روش تصویربرداری تشدید مغناطیسی استفاده شده است. تصویربرداری از ژل ها توسط سیستم MRI (۱.۵T) ساخت شرکت زمینس) با پروتکل داده شده در جدول ۴ انجام گرفت. این پروتکل نوفه را کمینه می کند [۱۲].



**جدول ۴-** پروتکل تصویربرداری بهینه از دزیمتر ژلی- پلی مری با سیستم ام.آر.آی ۱.۵T [۱۲]

FOV(mm)	256
Matrix Size(MS)(mm)	512
Slice Thickness(d)(mm)	4
Repetition Time(TR)(ms)	4000
Echo Time(TE)(ms)	20
Inter Echo Time Spasing(ms)	20
Number of Slices	6
Number of Echoes	32
Total Measurement Time [min]	25

که در آن  $D_i$  مقدار دز جذبی در برش مربوطه می‌باشد. اگر  $D_{\Delta}^p$  را به صورت کم‌ترین فاصله‌ی جدایی بین دو دز جذبی قابل تشخیص در نقشه‌ی دز با سطح اطمینان P تعریف کنیم،  $D_{\Delta}^p$  با استفاده از رابطه‌ی زیر به دست می‌آید [۱۲]

$$D_{\Delta}^p = k_p \sqrt{2} \sigma_D \quad (9)$$

که در آن  $k_p$  ضریب پوشش بوده و برای سطح اطمینان ۰.۶۸ برابر با ۱ می‌باشد [۱۲].

طبق نظر ام. لیژ و همکارانش [۱۶]  $\sigma_D$  با رابطه‌ی زیر داده می‌شود

$$\sigma_D = \left| \frac{\partial D}{\partial T_2} \right| u(T_2) \quad (10)$$

که در آن  $u(T_2)$  عدم قطعیت استاندارد  $T_2$  می‌باشد و می‌توان آن را با  $S(T_2)$  یعنی مقدار تجربی انحراف معیار جای‌گزین کرد. کریستیان بایریدر و همکارانش [۱۷] نشان دادند که در این رابطه می‌توان  $R_2$  را جای‌گزین  $T_2$  کرد.

دو دین و بالدوک [۱۸] رابطه‌ی زیر را برای خطای دز معرفی کردند

$$D_{\Delta}^p = k_p \sqrt{2} \frac{\sigma_{R_2}}{\alpha} \quad (11)$$

که در آن  $\alpha$  شیب خط برازش شده در بازه‌ی دینامیکی یا همان حساسیت دزیمتر می‌باشد.

البته گاهی ترجیح داده می‌شود که به جای رابطه‌ی (۱۱) از رابطه‌ی زیر استفاده شود [۱]

$$D_{\Delta}^p = \sqrt{2} k_p \left( \frac{\sigma_D}{D_{\max} - D_{\min}} \right) \quad (12)$$

کم‌ترین دز قابل تشخیص (MDD) به صورت زیر تعریف می‌شود [۱۲]

$$MDD = \lim_{D \rightarrow 0} (D_{\Delta}^p) \quad (13)$$

لازم است ژل‌ها قبل از تصویربرداری برای هم‌دما شدن حداقل ۱۲ ساعت در اتاق تصویربرداری مغناطیسی (ام.آر.آی) قرار داده شوند، تا از آرتیفکت ناشی از حرکت گرمایی پروتون‌ها جلوگیری شود، هر چند که آرتیفکت حرکتی به دلیل افزایش دما به میزان  $3^{\circ}\text{C}$  در حین تصویربرداری (ام.آر.آی) وجود خواهد داشت [۱۴].

قرار دادن ژل‌ها در این مدت در اتاق ام.آر.آی علاوه بر هم‌دما شدن فرصت تکمیل فرایند پلی‌مریزاسیون را نیز فراهم می‌آورد.

پس از تصویربرداری لازم است از تصاویر ام.آر.آی، که به صورت شدت سیگنال تشدید مغناطیسی می‌باشد، نقشه‌ی  $R_2$  استخراج شود. استخراج نقشه‌ی  $R_2$  از تصویر ام.آر.آی توسط برنامه‌ای که در محیط MATLAB با استفاده از روش چندنقطه‌ای [۱۵] نوشته شده بود، انجام شد.

#### ۵-۲ محاسبه‌ی خطای دز و کم‌ترین دز قابل آشکارسازی

در روش چندنقطه‌ای نقشه‌ی  $R_2$  از برازش شدت سیگنال‌های پیکسل‌های اکوهای مختلف با معادله‌ی نمایی زیر به دست می‌آید.

$$S = S_0 \exp(-R_2 TE) \quad (7)$$

که در آن S شدت سیگنال،  $S_0$  شدت سیگنال اولیه و TE زمان اکو می‌باشد. بررسی تأثیر نوفه روی تصویر  $R_2$  می‌تواند تأثیر بسزایی در افزایش دقت نقشه‌ی سه‌بعدی دز داشته باشد. برای به دست آوردن نقشه‌ی دز از تصویر  $R_2$  لازم است که درجه‌بندی انجام شود. پاسخ دزیمتر ژلی- پلی مری نسبت به دز دریافتی در بازه‌های مشخص خطی بوده و از رابطه‌ی زیر پیروی می‌کند

$$R_2 = R_{2,0} + \alpha D_i \quad (8)$$

### ۳- نتایج و بحث

#### ۳-۱ فعال سازی نوترونی پولک طلا

نقشه‌ی شار نوترون‌های گرمایی، از تحلیل طیف گامای به دست آمده از فعال‌سازی نوترونی پولک طلا در توان ۱MW به دست آمد. در نزدیک‌ترین نقطه از ستون گرمایی به قلب رآکتور یک جفت پولک طلا قرار داده شد که یکی از آن‌ها دارای پوشش کادمیم بود. آشکارساز گاما هیچ نوع قله‌ای را برای پولک طلا با پوشش کادمیم نشان نداد. این موضوع حاکی از عدم حضور قابل توجه نوترون‌های غیر گرمایی در ستون گرمایی است.

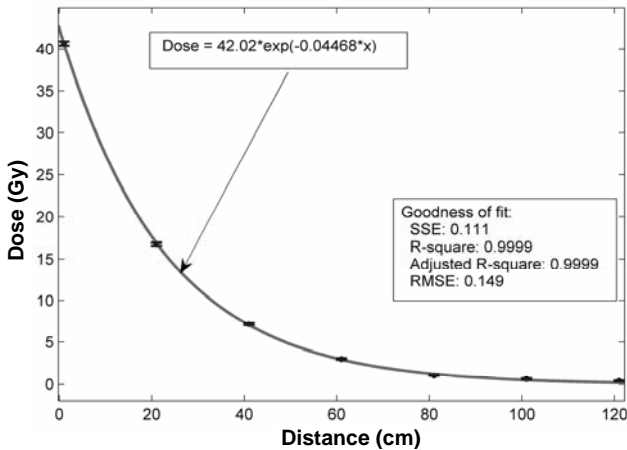
#### ۳-۲ تبدیل شار به دز

از شار نوترون‌های گرمایی با استفاده از ضرایب تبدیل شار به دز معادل مقدار دز معادل و با در اختیار داشتن عامل کیفیت QF برای نوترون‌های گرمایی، نقشه‌ی دز جذبی و رابطه‌ی تغییرات آن برحسب فاصله از انتهای ستون گرمایی به دست آمد.

نقشه‌ی دز جذب شده برحسب فاصله از انتهای ستون گرمایی برای ۴۰ دقیقه پرتو دمی ماده‌ی معادل بافت در ستون گرمایی رآکتور در شکل ۲ نشان داده شده است.

#### ۳-۳ برآورد میانگین R۲

دزیمترهای ژلی- پلی مری PAGAT پس از پرتو دمی، به منظور تصویربرداری به اتاق ام.آر.آی منتقل شدند. با توجه به این که دز در ستون گرمایی برحسب فاصله کاهش می‌یابد، برش‌های عرضی‌ای که توسط سیستم ام.آر.آی از ویال زده می‌شود، نشان‌گر برش‌هایی از ژل می‌باشد که تحت دزهای مختلفی پرتو دمی شده‌اند. با توجه به فاصله‌ی برش زده شده از انتهای ستون گرمایی و رابطه‌ی (۱۴) می‌توان دز جذب شده در برش مورد نظر را به دست آورد. تصاویر حاصل از ام.آر.آی با استفاده از روش چند نقطه‌ای به نقشه‌ی  $R2=1/T2$  تبدیل شد. سپس از نقشه‌ی R۲ حاصل، میانگین R۲ در هر برش، و از آن دز جذب شده در مکان برش مذکور به دست آمد. داده‌های عددی حاصل از پرتو دمی دزیمتر ژلی- پلی مری PAGAT با نوترون‌های گرمایی در جدول ۵ نشان داده شده است. در جدول ۵، STD نشان‌دهنده‌ی انحراف معیار R۲ در برش مربوطه می‌باشد. انتظار می‌رود که مقادیر R۲ برحسب دز جذبی به صورت دونمایی تغییر کند [۱۹].



شکل ۲- نقشه‌ی دز جذبی در ستون گرمایی رآکتور تهران (براساس توصیه‌ی ANSI/ANS-6.1.1-1997) برای مدت پرتو دمی ۴۰ دقیقه با توان ۱MW. در رابطه‌ی داده شده، X فاصله از انتهای ستون گرمایی برحسب cm می‌باشد.

جدول ۵- داده‌های حاصل از پرتو دمی دزیمتر ژلی- پلی مری PAGAT با نوترون‌های گرمایی

Distance (cm)	Flux ( $10^9$ n/cm <sup>2</sup> -sec)	Dose (Gy)	R2 (1/S)	STD
10.2	3.0328	27.0776	2.0263	0.0171
25.2	3.0328	14.0498	1.8908	0.0163
40.2	3.0328	7.29	1.809	0.0147
53.2	3.0328	4.1284	1.7426	0.0187
66.2	3.0328	2.3379	1.7137	0.0201
92	3.0328	0.7564	1.6519	0.0169

#### ۳-۴ منحنی دز-R۲

شکل ۳ نتیجه‌ی برازش داده‌های دز- R۲ حاصل از برش‌های مشابه در ویال‌های مختلف قرار داده شده در ستون گرمایی رآکتور با یک دونمایی را نشان می‌دهد. با توجه به شکل ۳ می‌توان یک بازه‌ی دینامیکی از دز حدود ۲Gy تا دز حدود ۲۷Gy برای دزیمتر ژلی- پلی مری PAGAT در اندازه‌گیری دز نوترون‌های گرمایی تعریف کرد. برازش این ناحیه با یک خط در شکل ۴ نمایش داده شده است. شیب خط که نشان‌دهنده‌ی حساسیت دزیمتر در این ناحیه است برابر با  $0.015 \pm 0.006 \text{ Gy}^{-1}\text{s}^{-1}$  و  $R2(0)$  (عرض از مبدأ) برابر با  $1.68 \pm 0.04 \text{ s}^{-1}$  می‌باشد. نتیجه‌ی به دست آمده برای حساسیت دزیمتر ژلی- پلی مری PAGAT به نوترون‌های گرمایی از حساسیت دزیمتر مذکور نسبت به پرتوهای گاما، که توسط ویننگ و همکارانش [۷] به دست آمده بود، کم‌تر است. دلیل این کاهش حساسیت را می‌توان به این صورت توجیه کرد که اگر چه دزیمترهای ژلی- پلی مری PAGAT در زمان پرتو دمی در بازه‌ی وسیعی در نزدیکی دمای اتاق مستقل از دمای محیط



### ۳-۵ قدرت تفکیک دز

داده‌های مربوط به قدرت تفکیک دز با سطح اطمینان ۰.۶۸٪ برای نمودار شکل ۴ در جدول ۶ داده شده است. در این جدول،  $\sigma_D$  از رابطه‌ی ۱۰ به دست آمده است و Dose Res. نشان‌دهنده‌ی قدرت تفکیک دز در مقدار دز مربوطه می‌باشد. با توجه به جدول ۶ و رابطه‌ی ۱۳ کم‌ترین دز قابل تشخیص نوترون‌های گرمایی توسط دزیمتر ژلی- پلی مری PAGAT حدود ۱/۸Gy تقریب زده می‌شود.

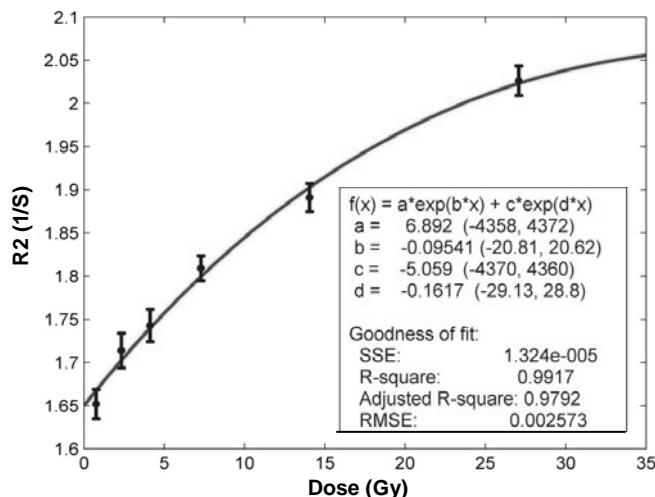
### ۴- نتیجه‌گیری

دزیمتر ژلی- پلی مری PAGAT تحت تابش شارهای متفاوتی از نوترون‌های گرمایی قرار گرفت. با تبدیل شار به دز مشاهده شد برای دزهای حدود ۲ تا ۲۷Gy مقادیر R2 بر روی یک خط راست با شیب ثابت قرار دارند. این موضوع علاوه بر این که بیان‌گر استقلال پاسخ ژل از شار برخوردی نوترون است، این نتیجه‌ی مهم را نیز به دست می‌دهد که پاسخ ژل در بازه‌ی مذکور با دز نوترون متناسب است. شیب خط حاصل برای نمودار دز-R2،  $0.0152 \pm 0.0006 \text{ Gy}^{-1} \text{ s}^{-1}$  است که معیاری از حساسیت دزیمتر ژلی- پلی مری می‌باشد. کم‌ترین دزی که در بازه‌ی دینامیکی توسط دزیمتر ژلی- پلی مری PAGAT قابل اندازه‌گیری است حدود ۱/۸Gy تقریب زده شد. افزایش دما به خصوص برای پرتوهای با انتقال انرژی خطی بالا می‌تواند پاسخ و حساسیت ژل را کاهش دهد. دمای ستون گرمایی بیش‌تر از دمای اتاق می‌باشد. اگر چه این موضوع باعث کاهش پاسخ ژل به نوترون‌های گرمایی در این مکان شد ولی با توجه به شکل ۴ و جدول ۶ مشاهده می‌شود که دزیمتر ژلی- پلی مری PAGAT برای دزیمتری نوترون علاوه بر برازش خطی بسیار عالی با R2 حدود ۰.۹۹ در منحنی دز-R2 از دقت فضایی بسیار خوبی برخوردار بوده و می‌توان با دقت بسیار بالا از این دزیمتر برای دزیمتری نوترون استفاده کرد.

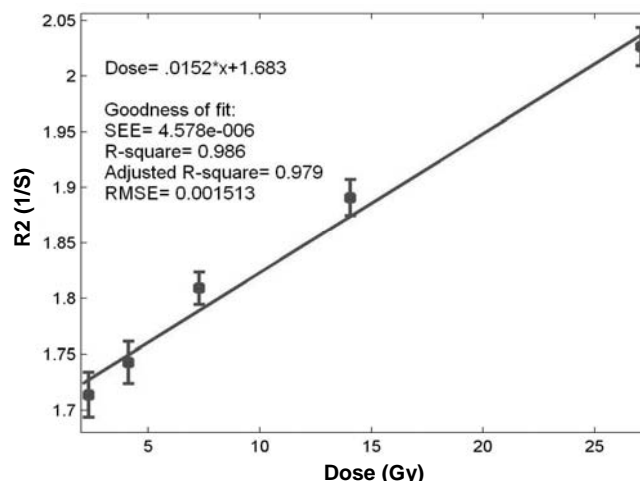
**جدول ۶-** داده‌های مربوط به قدرت تفکیک دز با سطح اطمینان ۰.۶۸٪ برای

نمودار شکل ۴

Dose (Gy)	R2 (1/S)	STD	$\sigma_D$	Dose res. (Gy)
27.0776	2.0263	0.0171	1.1243	1.5899
14.0498	1.8908	0.0163	1.0717	1.5156
7.29	1.809	0.0147	0.9665	1.3668
4.1284	1.7426	0.0187	1.2295	1.7387
2.3379	1.7137	0.0201	1.3215	1.8689



شکل ۳- برازش داده‌های دز- R2 دزیمتر ژلی- پلی مری PAGAT پرتودهی شده با نوترون‌های گرمایی با یک دونمایی.



شکل ۴- برازش بازه‌ی دینامیکی دزیمتر ژلی- پلی مری PAGAT با یک خط در اندازه‌گیری دز نوترون.

هستند، ولی اگر دما از یک حدی بیش‌تر شود می‌تواند در حساسیت دزیمتر تأثیر داشته باشد [۲۰]. هم‌چنین کاهش حساسیت را می‌توان به اثر دما در افزایش آهنگ بازترکیب رادیکال‌های آزاد نسبت داد؛ به خصوص زمانی که ذرات با انتقال انرژی خطی (LET) بالا مانند نوترون به کار می‌روند، این رادیکال‌های آزاد نزدیک هم تشکیل شده و تمایل بیش‌تر به تولید پراکسید هیدروژن و هیدروژن آزاد دارند که تأثیری در فرایند پلی‌مریزاسیون ندارند [۲۱]. کاهش مقدار پلی‌مر تولید شده منجر به کاهش حساسیت دزیمتر می‌شود. البته همان‌طور که در شکل‌های ۳ و ۴ مشاهده می‌شود دونمایی بودن پاسخ دزیمتر و خطی بودن پاسخ در بازه‌ی دینامیکی به رغم اثرات گرما و انتقال انرژی خطی حفظ شده است.

می شود. از آقای سعید باقری به دلیل همکاری شان در ساخت ژل و هم چنین از پرسنل پژوهشگاه های کاربرد پرتوها و تحقیقات رآکتور و شتاب دهنده های پژوهشگاه علوم و فنون هسته ای سازمان انرژی اتمی ایران سپاسگزاری می شود.

## تشکر و قدردانی

این تحقیق در انستیتو پرتو پزشکی نوین و سازمان انرژی اتمی ایران انجام گرفته است. از جناب آقای دکتر مرتضی قریب به دلیل همکاری بی دریغشان و از جناب آقای محسن شجایی مقدم که زحمت تصویربرداری از نمونه ها را برعهده داشتند تشکر

## References:

1. Y.De. Deene, C. Hurley, A. Venning, K. Vergote, M. Mather, B.J. Healy, C. Baldock, "A basic study of some normoxic polymer gel dosimeters," *Physics in Medicine and Biology*. Vol. 47, 3441-3463 (2004).
2. Y. De Deene, "Essential characteristics of polymer gel dosimeters," *Journal of Physics*. Vol Conference Series 3, 34-57 (2004).
3. Paul DeJeana, Rob Sendenb, Kim McAuleyb, Myron Rogersa, L. John Schreiner, "Initial experience with a commercial cone beam optical CT unit for polymer gel dosimetry II: Clinical potential," *Journal of Physics*. Vol Conference Series 56, 183-186 (2006).
4. M. Hilts, X-Ray computed tomography imaging of polymer gel dosimeters. in Preliminary Proceeding of DOSGEL 2006. Sherbrooke (Quebec), Canada: University of Sherbrooke (2006).
5. A Crescenti Remo, Jeffrey C Bamber, Mike Partridge, Nigel L Bush, and Steve Webb, "Characterization of the ultrasonic attenuation coefficient and its frequency dependence in a polymer gel dosimeter," *Phys. Med. Biol.* Vol 52, 6747-6759 (2007).
6. Y. De Deene, "Fundamentals of MRI measurements for gel dosimetry," *Journal of Physics*. Vol Conference Series 3, 87-114 (2004).
7. A.J. Venning, B. Hill, S. Brindha, B.J. Healy, C. Baldock, "Investigation of the PAGAT polymer gel dosimeter using magnetic resonance imaging," *Physics in Medicine and Biology* Printed in the UK. Vol 50, 3875-3888 (2005).
8. A. Jirasek, M. Hilts, C. Shaw, P. Baxter, "Experimental properties of THPC based normoxic polyacrylamide gels for use in x-ray computed tomography gel dosimetry," In DOSGEL 2006. Sherbrook (Quebec), Canada: University of Sherbrook (2006).
9. A. Jirasek, M. Hilts, C. Shaw, P. Baxter, "Investigation of tetrakis hydroxymethyl phosphonium chloride as an antioxidant for use in x-ray computed tomography polyacrylamide gel dosimetry," *Physics in Medicine and Biology* Printed in the UK. Vol 51, 1891-1906 (2006).
10. Glenn E Knoll, *Radiation Detectibn and Measurement*, Third ed, New York, John Wiley & Sons, Inc. 744-751 (2000).
11. American National Standard, *Neutron and Gamma-ray Flux-to-Dose Rate Factors*. ANSI/ANS- 6.1.1 (1997).
12. C. Baldock, M. Lepage, S.A. Back, P.J. Murry, P.M. Jayasekera, et al, "Dose resolution in radiotherapy gel dosimetry: effect of echo spacing in MRI pulse sequence," *Physics in Medicine and Biology*. Vol 46, 449-460 (2001).
13. H. Gustavsson, A. Karlsson, S.A. Back, L.E. Olsson, P. Haraldsson, et al, "MAGIC-type polymer gel for three-dimensional dosimetry: intensity-modulated radiation therapy verification," *Medical Physics*. Vol 30 (6), 1264-71 (2003).
14. Y. De Deene and C. De. Wagter, "Artefacts in multi-echo T<sub>2</sub> imaging for high-precision gel dosimetry: III. Effects of temperature drift during scanning," *Physics in Medicine and Biology*. Vol 46, 2697-2711 (2001).
15. Y De Deene, R. Van de Walle, E. Achten, C. De Wagter, "Mathematical analysis and experimental investigation of noise in quantitative magnetic resonance imaging applied in polymer gel dosimetry," *Signal Processing*. Vol 70, 85-101 (1998).
16. M. Lepage, P.M. Jayasekera, S.A. Back, C Baldock, "Dose resolution optimization of polymer gel dosimeters using different monomers," *Physics in Medicine and Biology*. Vol 46, 2665-2680 (2001).





17. Christian Bayredera, Dietmar Georg, Ewald Moser, Andreas Berg, "Basic investigations on the performance of a normoxic polymer gel with tetrakis-hydroxy-methyl-phosphonium chloride as an oxygen scavenger: Reproducibility, accuracy, stability, and dose rate dependence," *Medical Physics*. Vol. 33, No. 7, 2506-2518 (2006).
18. Y De Deene and C Baldock, "Optimization of multiple spin-echo sequences for 3D polymer gel dosimetry," *Physics in Medicine and Biology*. Vol 47, 3117-3141 (2002).
19. Y De Deene, P Hanselaer, C De Wagter, E Achten, W De Neve, "An investigation of the chemical stability of a monomer/polymer gel dosimeter," *Phys. Med. Biol.* Vol 45, 859-878 (2000).
20. Y De Deene, K Vergote, C Claeys, C De Wagter, "The fundamental radiation properties of normoxic polymer gel dosimeters: a comparison between a methacrylic acid based gel and acrylamide based gels," *PHYSICS IN MEDICINE AND BIOLOGY*. Vol 51, 653-673 (2006).
21. Helen Gustavsson, Sven A° J Ba°ck, Joakim Medin, Erik Grusell, Lars E Olsson, "Linear energy transfer dependence of a normoxic polymer gel dosimeter investigated using proton beam absorbed dose measurements," *Phys. Med. Biol.* Vol 49, 3847-3855 (2004).